

### Висновки:

1. Обидва методи і відповідні їм алгоритми формування рівнянь виду (1) правильні, оскільки з табл. 3 випливає, що результати розв'язування отриманих за цими алгоритмами рівнянь (табл. 1 і 2) та за програмою MicroCap збігаються.
2. Обидва алгоритми дають рівняння (1) неоднакового вигляду, оскільки у кожному з рівнянь формуються неоднакові спільні множники.
3. Спільні множники можемо додатково виявляти і обома методами отримувати рівняння (1) у простішому вигляді.

1. Шаповалов Ю.І. Формування символьних рівнянь лінійних параметричних кіл методами виключення змінних // *Моделювання та інформаційні технології: Зб. наук. пр. ІПМЕ НАН України.* – К., 2008. – Вип.48. – С. 111–119. 2. Шаповалов Ю.І. Про можливість застосування матричних та топологічних методів до моделювання лінійних параметричних кіл: *Зб. наук. пр. ІПМЕ НАН України.* – К., 2008. – Вип.48. – С. 125–135. 3. Сигорський В.П. *Математический аппарат инженера.* – К.: Техника, 1977. – 768 с. 4. Шаповалов Ю. *Моделювання лінійних параметричних кіл частотним символьним методом // Вісник ДУ „Львівська політехніка”.* – 1998. – №343. – С. 126–132. 5. Шаповалов Ю., Мандзій Б. *Символьний аналіз лінійних параметричних кіл: стан питань, зміст і напрямки застосування // Теоретична електротехніка.* – 2007. – Вип. 59. – С.3–9.

УДК: 621.391

Лега Ю.Г., С.М. Первунінський, С.С. Гузнін  
Черкаський державний технологічний університет

## ДОСЛІДЖЕННЯ ЗАВАДОСТІЙКОСТІ M-ПОЗИЦІЙНОГО АВТОКОРЕЛЯЦІЙНОГО ПРИЙМАЧА ШУМОВИХ СИГНАЛІВ В КАНАЛІ З АДИТИВНИМ БІЛИМ ГАУССОВИМ ШУМОМ

© Лега Ю.Г., Первунінський С.М., Гузнін С.С., 2009.

**Представлено результати теоретичного та експериментального дослідження завадостійкості m-позиційного автокореляційного приймача шумових сигналів в каналі з адитивним білим гауссовим шумом. Практичні результати узгоджуються з теоретичними.**

**There are presented results of theoretical and experimental researches of noise-stability m-position autocorrelation receiver of noise signals in additive white Gaussian noise channel. Practical results are consistent with theoretical.**

### Постановка завдання

Проблема використання в техніці зв'язку шумоподібних та шумових сигналів привернула до себе увагу науковців ще в шістдесятих та сімдесятих роках минулого сторіччя [1, 2]. Такий інтерес пов'язаний з наступними перевагами:

- 1) підвищений рівень скритності передачі та захищеності інформації;
- 2) стійкість до змін параметрів каналу та багатопроменевого розповсюдження;
- 3) стійкість до постановки штучних завод;

Зростання вимог до захищеності інформації, обмеженості частотного ресурсу, розвиток елементної бази радіосистем та технологій обробки сигналів дають змогу по новому поглянути на можливість практичного використання багатьох запропонованих раніше схем.

У [3] запропоновано схему, що забезпечує підвищення швидкості передачі. Схему пристрою цієї системи зображено на рис. 1.

На рис. 1 використані такі позначення:  $\Gamma$  – генератор шуму;  $\tau$  – лінія затримки на час  $\tau$ ;  $U_i(t)$ ,  $i = 1, m$ , – система псевдошумових ортогональних послідовностей;  $K_k$ ,  $k = 1, m$ , – кореляційні пристрої.

Прикладом псевдошумової ортогональної системи  $U_i(t)$ , що складається з чотирьох послідовностей, може слугувати така матриця:

$$U_{i,t} = \begin{bmatrix} 1 & 1 & 1 & 1 \\ 1 & 1 & -1 & -1 \\ 1 & -1 & -1 & 1 \\ 1 & -1 & 1 & -1 \end{bmatrix}.$$

На виході передавача на одному символному інтервалі довжини  $T$  сигнал має вигляд

$$x(t) = \xi(t) + \alpha_i U_i(t) \xi(t - \tau), \quad (1)$$

де  $\alpha_i \in \{0,1\}$ ,  $i = 1, m$  – переданий інформаційний  $i$ -й символ  $m$ -позиційного коду.

На вході приймача спостерігається сигнал виду

$$y(t) = x(t) + v(t) = \xi(t) + \alpha_i U_i(t) \xi(t - \tau) + v(t), \quad (2)$$

де  $v(t)$  – адитивна завада, яка міститься у каналі зв'язку.

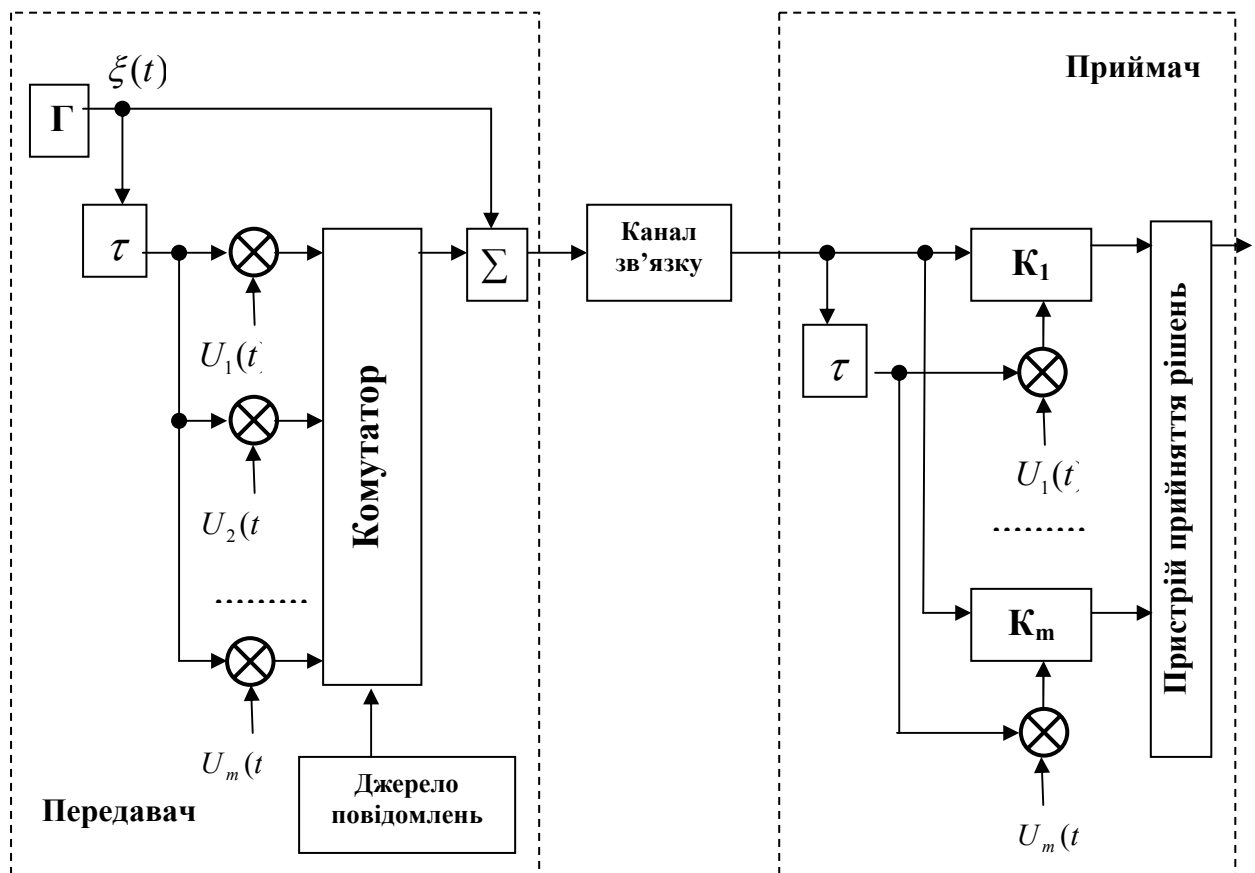


Рис. 1. Пристрій для передачі інформації  $m$ -позиційними шумовими сигналами

Значення сигналу на виході  $k$ -го кореляційного пристрою  $K_k$  визначається величиною

$$\begin{aligned} \mathcal{G}_k &= \int_{\tau}^{T+\tau} (v(t) + x(t))(v(t - \tau) + x(t - \tau))U_k(t)dt = \\ &= \int_{\tau}^{T+\tau} (v(t) + \xi(t) + \alpha_i U_i(t)\xi(t - \tau))(v(t - \tau) + \xi(t - \tau) + \\ &\quad + \alpha_i U_i(t - \tau)\xi(t - 2\tau))U_k(t)dt, \end{aligned} \quad (3)$$

де  $U_k(t)$ ,  $k = 1, m$  – псевдошумова ортогональна послідовність,  $U_k(t) = U_i(t)$ , за  $k=i$ .

Пристрій прийняття рішень фіксує передачу символу  $\alpha_k \in \{0,1\}$  при  $k$ -му,  $k = 1, m$  виході, для якого сигнал, що знімається з кореляційного пристрою  $K_k$ , має максимальне амплітудне значення.

**Мета роботи** – теоретичне та експериментальне дослідження завадостійкості системи з  $M$ -позиційними шумовими сигналами в каналі з адитивним білим гауссовим шумом, зображеної на рис. 1.

### Розв'язання задачі

Вирішувальний пристрій приймає правильне рішення про прийом символу  $\alpha_k = 1$  у випадку, коли номер  $k$ -го кореляційного пристрою, на виході якого сигнал має максимальне амплітудне значення, дорівнює  $i$ -тому номеру вхідного каналу комутатора.

Як математичну модель виходу генератора шуму  $\xi(t)$  оберемо стаціонарний гауссовий дельтакорельований центрований випадковий процес (гауссовий білий шум). Щільність розподілу одновимірного часового перерізу такого процесу має вигляд

$$f(x) = \frac{1}{\sqrt{2\pi D}} e^{-\frac{x^2}{2D}},$$

де  $D$  – дисперсія.

Розкриваючи круглі дужки у виразі (3), можна виділити такі доданки:

$$\begin{aligned} \mathcal{G}_k &= \eta_{v_1, v}(t, t - \tau) + \eta_{v_1, \xi}(t, t - \tau) + \eta_{v_1, \xi}(t - \tau, t) + \eta_{\xi_k, \xi}(t, t - \tau) + \\ &+ \eta_{v_1, \xi_i}(t, t - 2\tau) + \eta_{v_1, \xi_i}(t - \tau, t - \tau) + \eta_{\xi_k, \xi_i}(t, t - 2\tau) + \\ &+ \eta_{\xi_k, \xi_i}(t - \tau, t - 2\tau) + \eta_{\xi_k, \xi_i}(t - \tau, t - \tau), \end{aligned} \quad (4)$$

де введено такі позначення:

$$\begin{aligned} \eta_{v_1, v}(t, t - \tau) &= \int_{\tau}^{T+\tau} v(t)v(t - \tau)U_k(t)dt; \quad \eta_{v_1, \xi}(t, t - \tau) = \int_{\tau}^{T+\tau} v(t)\xi(t - \tau)U_k(t)dt; \\ \eta_{v_1, \xi}(t - \tau, t) &= \int_{\tau}^{T+\tau} v(t - \tau)\xi(t)U_k(t)dt; \quad \eta_{\xi_k, \xi}(t, t - \tau) = \int_{\tau}^{T+\tau} \xi(t)\xi(t - \tau)U_k(t)dt; \\ \eta_{v_1, \xi_i}(t, t - 2\tau) &= \int_{\tau}^{T+\tau} v(t)\xi(t - 2\tau)U_i(t - \tau)U_k(t)dt; \\ \eta_{v_1, \xi_i}(t - \tau, t - \tau) &= \int_{\tau}^{T+\tau} v(t - \tau)\xi(t - \tau)U_i(t)U_k(t)dt; \\ \eta_{\xi_k, \xi_i}(t, t - 2\tau) &= \int_{\tau}^{T+\tau} \xi(t)\xi(t - 2\tau)U_i(t - \tau)U_k(t)dt; \\ \eta_{\xi_k, \xi_i}(t - \tau, t - 2\tau) &= \int_{\tau}^{T+\tau} \xi(t - \tau)\xi(t - 2\tau)U_i(t)U_i(t - \tau)U_k(t)dt; \end{aligned}$$

$$\eta_{\xi_k, \xi_i}^{\xi}(t-\tau, t-\tau) = \int_{\tau}^{T+\tau} \xi^2(t-\tau) U_i(t) U_k(t) dt; \quad v_1(t) = v(t) U_k(t); \quad \xi_i(t) = \xi(t) U_i(t).$$

Обчислюючи значення початкових моментів, вважатимемо заваду  $v(t)$  центрованою (з нульовим значенням моменту першого порядку), а  $\xi(t)$  та  $v(t)$  – стаціонарними в широкому сенсі. У цьому випадку й процеси  $\xi_i(t) = \xi(t) U_i(t)$ ,  $v_1(t) = v(t) U_k(t)$  за зміни псевдовипадкової функції  $U(t)$  в інтервали часу кратні величині  $\tau$  за природного допущення, що інтервал  $\tau$  набагато менший від інтервалу кореляції процесів  $\xi(t)$  й  $v(t)$ , також будуть центрованими й стаціонарними. За цих припущень матимемо:

$$m_1^{\eta_{v_1, v}(t, t-\tau)} = M \int_{\tau}^{T+\tau} v(t) v(t-\tau) U_k(t) dt = \int_{\tau}^{T+\tau} M \{v_1(t)\} M \{v(t-\tau)\} dt = 0.$$

Відповідно можна визначити рівняння:

$$\begin{aligned} m_1^{\eta_{v_1, \xi}(t, t-\tau)} &= m_1^{\eta_{v_1, \xi}(t-\tau, t)} = m_1^{\eta_{\xi_k, \xi}(t, t-\tau)} = m_1^{\eta_{v_1, \xi_i}(t, t-2\tau)} = \\ &= m_1^{\eta_{v_1, \xi_i}(t-\tau, t-\tau)} = m_1^{\eta_{\xi_k, \xi_i}(t, t-2\tau)} = m_1^{\eta_{\xi_k, \xi_i}(t-\tau, t-2\tau)} = 0; \end{aligned} \quad (5)$$

$$\begin{aligned} m_1^{\eta_{\xi_k, \xi_i}(t-\tau, t-\tau)} &= \int_{\tau}^{T+\tau} M \{\xi^2(t-\tau)\} U_i(t) U_k(t) dt = \\ &= \sigma_{\xi}^2 \int_{\tau}^{T+\tau} U_i(t) U_k(t) dt = \begin{cases} \sigma_{\xi}^2 n \tau, & k = i \\ 0, & k \neq i. \end{cases} \end{aligned} \quad (6)$$

Узагальнюючи величини, представлені у виразах (5)–(6), матимемо:

$$m_1^{g_k} = M \{g_k\} = \begin{cases} \sigma_{\xi}^2 n \tau = \sigma_{\xi}^2 T, & k = i; \\ 0, & k \neq i, \quad i = \overline{1, m}. \end{cases} \quad (7)$$

Обчислення другого початкового моменту  $m_2^{g_k}$ ,  $k = \overline{1, m}$  пов'язане з визначенням значення

$$\begin{aligned} m_2^{g_k} &= M \{g_k^2\} = M \{[\eta_{v_1, v}(t, t-\tau) + \eta_{v_1, \xi}(t, t-\tau) + \eta_{v_1, \xi}(t-\tau, t) + \\ &+ \eta_{v_1, \xi_i}(t, t-2\tau) + \eta_{\xi_k, \xi}(t, t-\tau) + \eta_{v_1, \xi_i}(t-\tau, t-\tau) + \\ &+ \eta_{\xi_1, \xi_1}(t, t-2\tau) + \eta_{\xi_k, \xi_i}(t-\tau, t-2\tau) + \eta_{\xi_k, \xi_i}(t-\tau, t-\tau)]^2\}. \end{aligned} \quad (8)$$

Визначаючи величини цих доданків, вважаємо, що випадкові процеси  $\xi(t)$  й  $v(t)$  мають кумулянтні функції другого порядку  $\sigma_{\xi}^2$  та  $\sigma_v^2$ .

Визначимо значення величини:

$$\begin{aligned} m_2^{\eta_{v_1, v}(t, t-\tau)} &= M \{\eta_{v_1, v}^2(t, t-\tau)\} = M \left\{ \left[ \int_{\tau}^{T+\tau} v(t) v(t-\tau) U_k(t) dt \right]^2 \right\} = \\ &= M \left\{ \int_{\tau}^{T+\tau} v(t) v(t-\tau) U_k(t) dt \int_{\tau}^{T+\tau} v(x) v(x-\tau) U_k(x) dx \right\} = \\ &= \int_{\tau}^{T+\tau} \int_{\tau}^{T+\tau} M \{v(t) v(x) v(t-\tau) v(x-\tau)\} U_k(t) U_k(x) dx dt. \end{aligned} \quad (9)$$

Момент четвертого порядку спільно з гауссовими центрованими випадковими величинами  $v(t), v(x), v(t-\tau), v(x-\tau)$  визначається такою формулою [4]:

$$\begin{aligned} M \{v(t), v(x), v(t-\tau), v(x-\tau)\} &= M \{v(t), v(x)\} M \{v(t-\tau), v(x-\tau)\} + \\ &+ M \{v(t), v(t-\tau)\} M \{v(x), v(x-\tau)\} + M \{v(t), v(x-\tau)\} M \{v(x), v(t-\tau)\}. \end{aligned} \quad (10)$$

Користуючись співвідношенням (9) та (10), одержимо

$$\begin{aligned} m_2^{\eta_{v_1, v}(t, t-\tau)} &= \sigma_v^2 \int_{\tau}^{T+\tau} \int_{\tau}^{T+\tau} M \{v(t)v(x)\} \delta(t-x) U_k(t) U_k(x) dx dt + \\ &+ \sigma_v^4 \int_{\tau}^{T+\tau} \int_{\tau}^{T+\tau} \delta(\tau) \delta(\tau) \} U_k(t) U_k(x) dx dt + \\ &+ \sigma_v^4 \int_{\tau}^{T+\tau} \int_{\tau}^{T+\tau} \delta(t-x+\tau) \delta(t-x-\tau) U_k(t) U_k(x) dx dt . \end{aligned}$$

Інтегрування виразів, що входять в отриманий вираз, припускає використання рівності

$$\int_{\tau}^{T+\tau} U_k^2(t) dx = T = n\tau, \quad k = \overline{1, m},$$

застосовуючи яку, з урахуванням фільтрувальної властивості дельта-функції, матимемо

$$m_2^{\eta_{v_1, v}(t, t-\tau)} = \sigma_v^4 T. \quad (11)$$

З формули (8), враховуючи незалежність випадкових величин  $v(t)$ ,  $\xi(x)$  і фільтрувальної властивості дельта-функції, можна знайти значення таких моментів:

$$m_2^{\eta_{v_1, \xi}(t, t-\tau)} = \int_{\tau}^{T+\tau} \int_{\tau}^{T+\tau} M \{v(t)v(x)\} \sigma_{\xi}^2 \delta(t-x) U_k(t) U_k(x) dx dt = \sigma_v^2 \sigma_{\xi}^2 T. \quad (12)$$

В подібний спосіб з (8) можна знайти значення таких моментів:

$$m_2^{\eta_{v_1, \xi}(t-\tau, t)} = \sigma_v^2 \sigma_{\xi}^2 T; \quad m_2^{\eta_{v_1, \xi}(t-\tau, t-\tau)} = \sigma_{\xi}^2 \sigma_v^2 T; \quad m_2^{\eta_{v_1, \xi}(t, t-2\tau)} = \sigma_{\xi}^2 \sigma_v^2 T; \quad (13)$$

Трохи інші величини виходять у моментів

$$m_2^{\eta_{\xi_k, \xi}(t, t-\tau)} = m_2^{\eta_{\xi_1, \xi_1}(t, t-2\tau)} = m_2^{\eta_{\xi_k, \xi_1}(t-\tau, t-2\tau)} = \sigma_{\xi}^4 T. \quad (14)$$

Окремо варто розглянути значення величини

$$m_2^{\eta_{\xi_k, \xi_i}(t-\tau, t-\tau)} = \begin{cases} \sigma_{\xi}^4 (2T + T^2), & k = i, \\ 2\sigma_{\xi}^4 T, & k \neq i. \end{cases} \quad (15)$$

Обчислення подвоєних парних добутків елементів, записаних у квадратних дужках виразу (8), приводить до таких величин:

$$\begin{aligned} &M \{2\eta_{v_1, v}(t, t-\tau) \eta_{v_1, \xi}(t, t-\tau)\} = \\ &= 2 \int_{\tau}^{T+\tau} M \{v(t)v(t-\tau)v(x)\xi(x-\tau) U_k(t) U_k(x)\} dt dx = 0. \end{aligned}$$

Нульові значення виходять і для моментів від добутків усіх інших парних добутків доданків у виразі (8). Отже, узагальнюючи наведені вище результати, можна записати, що

$$m_2^{\mathcal{G}_k} = M \{\mathcal{G}_k^2\} = \begin{cases} (\sigma_v^4 + 4\sigma_v^2 \sigma_{\xi}^2 + 5\sigma_{\xi}^4) T, & k \neq i, \quad i = \overline{1, m}; \\ (\sigma_v^4 + 4\sigma_v^2 \sigma_{\xi}^2 + 5\sigma_{\xi}^4 + \sigma_{\xi}^4 T) T, & k = i. \end{cases} \quad (16)$$

Маючи у своєму розпорядженні значення початкових моментів гауссових випадкових величин  $\mathcal{G}_i$ ,  $i = \overline{1, m}$ , визначимо їхню дисперсію:

$$D_2^{\mathcal{G}_i} = m_2^{\mathcal{G}_i} - (m_1^{\mathcal{G}_i})^2 = (\sigma_v^4 + 4\sigma_v^2 \sigma_{\xi}^2 + 5\sigma_{\xi}^4) T, \quad i = \overline{1, m}. \quad (17)$$

Обчислення спільних моментів випадкових величин  $\mathcal{G}_i$ ,  $i = \overline{1, m}$  можна виконати за розглянутою вище методикою, при цьому одержимо такі моменти:

$$M \{\mathcal{G}_k \mathcal{G}_i\} = \begin{cases} 0, & k \neq i; \\ (\sigma_v^4 + 4\sigma_v^2 \sigma_{\xi}^2 + 5\sigma_{\xi}^4 + \sigma_{\xi}^4 T) T, & k = i. \end{cases} \quad (18)$$

Взаємна некорельованість гауссових випадкових величин  $\mathcal{G}_i$ ,  $i = \overline{1, m}$  вказує й на їхню взаємну незалежність, що значно спрощує обчислення ймовірності помилки в розглянутій системі. Визначення ймовірності помилки виконаємо для випадку, коли сигнали, передані по кожній з  $m$  позицій мають рівну дисперсію й передаються з однаковою апіорною ймовірністю. Для цього скористаємося значенням умовної спільної щільності ймовірності  $\omega(\mathcal{G}_1, \mathcal{G}_2, \dots, \mathcal{G}_m / \alpha_i)$  гауссових випадкових величин  $\mathcal{G}_i$ ,  $i = \overline{1, m}$ , що має вигляд

$$\omega(\mathcal{G}_1, \mathcal{G}_2, \dots, \mathcal{G}_m / \alpha_i) = \prod_{k=1}^m \omega(\mathcal{G}_k / \alpha_i), \quad (19)$$

де  $\omega(\mathcal{G}_k / \alpha_i)$  – умовна щільність ймовірності випадкової величини  $\mathcal{G}_k$  під час передачі сигналу по  $i$ -й позиції ( $\alpha_i = 1$ );

$$\omega(\mathcal{G}_k / \alpha_i) = \frac{1}{\sqrt{2\pi D_2^{\mathcal{G}_k}}} \exp\left(-\frac{(\mathcal{G}_k - m_1^{\mathcal{G}_k})^2}{2D_2^{\mathcal{G}_k}}\right), \quad (20)$$

з урахуванням значень моментів і дисперсій з формул (7) і (17), одержимо

$$\omega(\mathcal{G}_1, \mathcal{G}_2, \dots, \mathcal{G}_m / \alpha_i) = \frac{1}{\left(\sqrt{2\pi D_2^{\mathcal{G}_i}}\right)^m} \exp\left(-\frac{(\mathcal{G}_i - m_1^{\mathcal{G}_i})^2 + \sum_{\substack{k=1, \\ k \neq i}}^m (\mathcal{G}_k)^2}{2D_2^{\mathcal{G}_i}}\right). \quad (21)$$

Знаючи умовну щільність ймовірності  $\omega(\mathcal{G}_1, \mathcal{G}_2, \dots, \mathcal{G}_m / \alpha_i)$ , можна знайти ймовірність правильного розв'язку під час приймання сигналу  $i$ -ї позиції:

$$P_{i,i} = \int_{-\infty}^{\infty} d\mathcal{G}_i \int_{-\infty}^{\mathcal{G}_i} \dots \int_{-\infty}^{\mathcal{G}_i} \omega(\mathcal{G}_1, \mathcal{G}_2, \dots, \mathcal{G}_m / \alpha_i) d\mathcal{G}_1 \dots d\mathcal{G}_{i-1} d\mathcal{G}_{i+1} \dots d\mathcal{G}_m. \quad (22)$$

У результаті інтегрування у виразі (22) з підстановкою (21) запишемо

$$P_{i,i} = \frac{1}{\sqrt{2\pi D_2^{\mathcal{G}_i}}} \int_{-\infty}^{\infty} \exp\left(-\frac{(x - m_1^{\mathcal{G}_i})^2}{2D_2^{\mathcal{G}_i}}\right) \Phi^{m-1}\left(x / \sqrt{D_2^{\mathcal{G}_i}}\right) dx, \quad (23)$$

де  $\Phi(z) = \frac{1}{\sqrt{2\pi}} \int_{-\infty}^z \exp(-x^2 / 2) dx$  – інтеграл ймовірності.

Отриманий вираз заміною змінною інтегрування може бути наведений до зручнішого для обчислень вигляду:

$$P_{i,i} = \frac{1}{\sqrt{2\pi}} \int_{-\infty}^{\infty} \exp\left(-\frac{(z - m_1^{\mathcal{G}_i} / \sqrt{D_2^{\mathcal{G}_i}})^2}{2}\right) \Phi^{m-1}(z) dz. \quad (24)$$

Для рівноймовірних сигналів ймовірність правильного прийому кожного із сигналів однакова. Повна ймовірність помилки, що визначає завадостійкість системи, за розрізнення рівноймовірних сигналів визначається співвідношенням

$$P = \sum_{i=1}^m (1 - P_{i,i}) p_i = \sum_{i=1}^m \frac{1}{m} (1 - P_{i,i}) = 1 - P_{i,i}, \quad (25)$$

де  $p_i$  – апіорна ймовірність передачі сигналу  $i$ -ї позиції.

Як бачимо з формул (24), (25), ймовірність помилки в системі залежить від величини

$$G = m_1^{\mathcal{G}_i} / \sqrt{D_2^{\mathcal{G}_i}} = \sigma_{\xi}^2 \sqrt{T} / \sqrt{\sigma_v^4 + 4\sigma_v^2 \sigma_{\xi}^2 + 5\sigma_{\xi}^4}. \quad (26)$$

Підставляючи значення  $T = n\tau = n / \Delta F$  в (26), можна записати

$$G = \sigma_{\xi}^2 \sqrt{n / \Delta F} / \sqrt{\sigma_v^4 + 4\sigma_v^2 \sigma_{\xi}^2 + 5\sigma_{\xi}^4} = q \sqrt{n / \Delta F} / \sqrt{1 + 4q + 5q^2}, \quad (27)$$

де уведене позначення  $q = \sigma_{\xi}^2 / \sigma_v^2$  – перевищення сигналу над шумом.

Задля експериментального дослідження схеми, зображеної на рис. 1, побудовано макет. Макет складається з двох ПЕОМ; кабелю, який містить два провідники, що з'єднують між собою вихід звукової плати Line-OUT, одного ПЕОМ з входом звукової карти Line-IN іншого ПЕОМ; двох програм, які моделюють роботу вищезазначеної схеми.

На одній з ПЕОМ виконується програма “Transmitter”. Ця програма, моделюючи роботу передавача (рис. 1), генерує  $m$ -позиційний шумовий сигнал та заваду заданої довжини, додає до сигналу заваду, отриманий сигнал у вигляді дискретних відліків записує до буфера звукової карти. Звукова карта за допомогою цифро-аналогового перетворювача (ЦАП) шляхом згладжування (інтерполяції) формує з отриманих відліків інформаційного сигналу та завади аналоговий сигнал та подає на вихід Line-OUT карти.

На іншому ПЕОМ, на вході Line-IN звукової карти аналоговий сигнал направляється на вхід аналого-цифрового перетворювача (АЦП), отримані відліки, які є сумою інформаційного сигналу та завади, надходять до буфера звукової карти. Програма “Receiver”, моделюючи роботу приймача (рис. 1), отримує дискретні відліки з буфера звукової карти та на їх основі робить оцінку прийнятого символу.

Для зменшення впливу ефекту розсинхронізації між тактовими генераторами ЦАП-передавача та АЦП-приймача інформаційний сигнал розбивається на пакети, які містять 200 елементарних символів. Синхронізація моменту початку передачі інформаційного пакета виконується додаванням до останнього сигналу синхронізації (Код Баркера з  $N=13$ ). Приймач приймає рішення про прийом інформаційного пакета у випадку, коли кореляційна функція сигналу коду Баркера досягає порогового значення.

Програми передавача та приймача сигналів виконані з використанням візуального середовища програмування «Delphi 7».

На рис. 2 зображено результати теоретичних та експериментальних досліджень завадостійкості схеми.

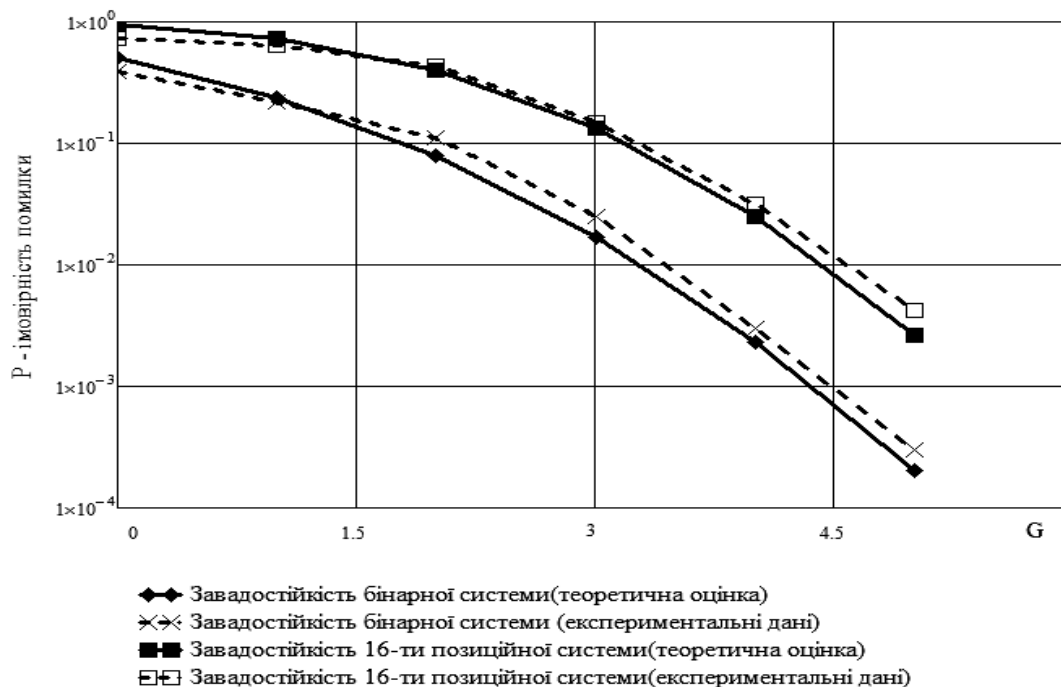


Рис. 2. Оцінка залежності ймовірності помилки прийому  $P$  від величини  $G$  бінарного та 16-позиційного приймача

## Висновки

Результати експериментального дослідження бінарної системи (нижня крива позначена пунктиром на рис. 2) та 16-позиційної (верхня крива позначена пунктиром) з незначною похибкою повторюють теоретичні результати (суцільні криві), а отже, результат експерименту узгоджується з теорією у межах похибки, яку можна пояснити внутрішніми шумами системи прийому/передачі, зокрема в трактах ЦАП та АЦП [7]. З аналізу графіка (рис. 2) також зрозуміло, що зі збільшенням кількості позицій  $m$  зростає й імовірність помилки  $P$ , проте використання  $m$ -позиційних сигналів збільшує інформаційну ємність сигналу до величини  $\log_2 m$  біт. Тому вибір кількості позицій сигналу є компромісом між швидкістю передачі та завадостійкістю.

1. Финк Л.М. Теория передачи дискретных сообщений. – М.: Советское радио, 1963.
2. Семенов А.М., Сикарев А.А. Широкополосная радиосвязь. – М.: Воениздат, 1970.
3. Пат. 32884 Україна, Н 04 В 7/00. Пристрій для передачі інформації  $M$ -позиційними шумовими сигналами / Лега Ю.Г., Первунінський С.М., Гузнін С.С.; заявник та власник Черкаський державний технологічний університет. – № 200713382; Заявл. 30.11.07; Опубл. 10.06.08, Бюл. № 11.
4. Тихонов В.И., Харисонов В.Н. Статистический анализ и синтез радиотехнических устройств и систем. – М.: «Радио и связь», 1991. – 608 с.
5. Скляр Б. Цифровая связь. Теоретические основы и практическое применение. – 2-е изд., испр.; Пер. с англ. – М.: Издательский дом «Вильямс», 2004. – 1104 с.
6. Кинтцель Т. Руководство программиста по работе со звуком / Пер. с англ. – М.: ДМК Пресс, 2000. – 432 с.
7. McCarthy B. Sound systems: design and optimization. First edition. – NewYork: Focal Press, 2007. – 527 p.

УДК 621.3.006.357

Ю.Ю. Коляденко, Л.О. Токар

Харківський державний регіональний науково-технічний центр з питань ТЗІ

## МОДИФІКАЦІЯ МЕТОДУ РОЗПОДІЛУ ЧАСТОТНОГО РЕСУРСУ В УМОВАХ КОНВЕРСІЇ РАДІОЧАСТОТНОГО СПЕКТРА

© Коляденко Ю.Ю., Токар Л.О., 2009

**Розглянуто один зі шляхів розв'язання задачі електромагнітної сумісності (ЕМС) – метод частотного планування за допомогою мінімізації кількості частотних каналів, що використовуються, для виконання умов забезпечення ЕМС.**

**One of paths of decision of task of electromagnetic compatibility (EMC) is considered in the article – method of the frequency planning by minimization of amount of the used frequency channels for implementation of terms of the EMC providing.**

### Вступ

Сьогодні кількість радіоелектронних засобів (РЕЗ) різного призначення перевищує можливості задоволення їх частотних потреб у смугах радіочастотного спектра, що традиційно використовуються. Зокрема, розгортання в Україні мереж стільникового зв'язку третього покоління (3G) зумовило актуальність робіт з забезпечення їх сумісного функціонування з мережами радіорелейних станцій та засобами авіаційного зв'язку у загальних смугах частот [1]. Одним зі шляхів розв'язання цієї задачі є вдосконалення методів частотного планування цих мереж з метою мінімізації кількості частотних каналів, що використовуються, під час виконання встановлених умов забезпечення електромагнітної сумісності (ЕМС) [2].